

¹Frungillo, L.; ¹Anazetti, M.C.; ²Durán, N.; ^{1,3}Melo, P.S.

¹Depto. de Bioquímica, IB, UNICAMP; ²Lab. de Química Biológica, IQ, UNICAMP; ³METROCAMP, SP
e-mail: L034140@dac.unicamp.br

Desidrocrotonina – Complexos de Inclusão – Estresse Oxidativo

Introdução

Leucemogênese é um fenômeno complexo caracterizado por anomalias na proliferação e na diferenciação que resultam na inibição da maturação e na expansão clonal. A linhagem celular mielogênica leucêmica humana HL60 foi estabelecida a partir de leucócitos do sangue periférico de pacientes com leucemia promielocítica aguda. Recentemente, nosso grupo demonstrou que a Desidrocrotonina (DHC), extraída da *Cortona cajucara*, possui efeitos citotóxicos, através da indução de apoptose, em células HL60¹. No entanto, relatos indicam hepatotoxicidade induzida por DHC *in vivo* e citotoxicidade à hepatócitos de rato. As ciclodextrinas são aplicadas como carregadoras funcionais para controlar o perfil da taxa e/ou do tempo da liberação da droga, proporcionando aumento da eficácia terapêutica, estabilidade da droga e redução dos efeitos colaterais². Este estudo visa a análise da modulação da indução de apoptose em célula tumoral, leucemia humana HL60³ através do tratamento com DHC livre e complexada a BCD (DHC/BCD, DHC/MeBCD e DHC/HPBCD).

Material e Métodos

Cultura de Célula Leucêmica

Células da Leucemia Humana (HL60) foram mantidas em cultura em suspensão em meio RPMI 1640 suplementado com 20% SFB, 100 U/mL de Penicilina e 100 µg/mL de Estreptomicina.

As análises que seguem foram realizadas após exposição das células a DHC e complexos em ciclodextrinas (BCD, MeBCD e HPBCD) por diferentes tempos.

Viabilidade Celular - MTT

Após o tratamento, foi adicionado às células o sal MTT (5mg/mL), seguido de incubação por 3 horas. O precipitado foi lavado e solubilizado em etanol absoluto. A leitura foi realizada em espectrofotômetro no comprimento de onda de 570nm.

Ação de antioxidantes e depletor de GSH

As células foram pré incubadas (1 hora) com antioxidantes - glutatona 1mM (GSH), N-acetil-cisteína 1mM (NAC) e GSH + NAC - e com depletor de GSH - dietilmaleato 100µM (DEM); seguido do tratamento com DHC e os complexos. Após 72 horas foi realizado o ensaio de MTT.

Swelling mitocondrial

As mitocôndrias foram isoladas de células e ressuspensas em tampão CFS. A absorbância foi medida a 520 nm em 15 min a 25°C utilizando espectrofotômetro.

Determinação do Potencial de Membrana Mitocondrial ($\Delta\psi_m$)

Foi utilizado o kit BD™ MitoScreen, que consiste na aplicação do fluorocromo lipofílico catiônico, JC-1 para citometria de fluxo.

Liberação de Citocromo c

As medidas de citocromo c humano em lisados celulares foram feitas utilizando o Quantikine Cytochrome c Immunoassay (ELISA sandwich da R&D Systems, USA).

Resultados

Viabilidade celular - ação da DHC livre e complexada

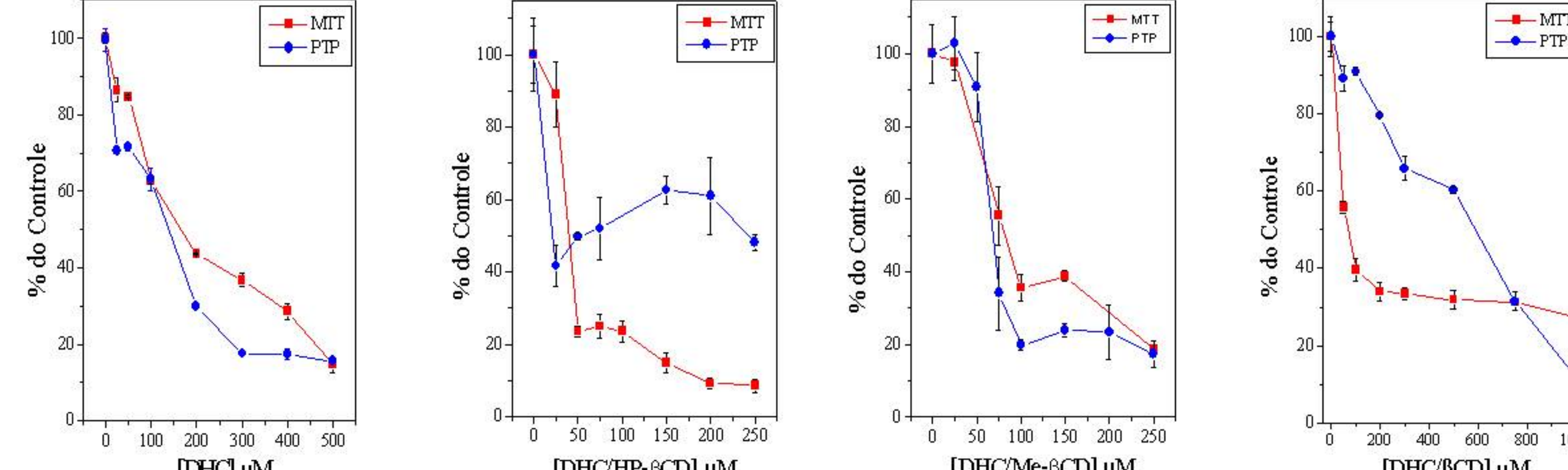


Figura 1. Viabilidade celular medida pelo ensaio de MTT. Exposição de 72 horas a DHC e complexos. Cada ponto representa a média de três experimentos realizados em triplicata (*P<0,001 em relação ao controle).

Viabilidade celular - ação dos antioxidantes

Tabela 1. Valores de IC₅₀ obtidos após pré-tratamento com antioxidantes (GSH, NAC, GSH+NAC) e seu depletor (DEM), na presença e ausência de CsA.

TRATAMENTOS	s/ antioxidantes		GSH 1mM		NAC 1mM		GSH 0,5mM + NAC 0,5mM		DEM 0,5mM	
	s/	c/	s/	c/	s/	c/	s/	c/	s/	c/
Pré-incubação por 1 h com CsA 1 µM										
DHC	380±3,00	NE (70%)	NE	NE	665±3,41	NE (73%)	NE (80%)	NE (60%)	160±1,34	NE
BCD/DHC	117±2,50	NE (60%)	NE (55%)	NE (70%)	380±2,60	NE (50%)	NE	NE (55%)	115±2,30	NE
MeBCD/DHC	585±3,05	NE (76%)	NE	NE	665±3,41	NE (73%)	NE (85%)	NE (65%)	168±1,34	NE
OHpBCD/DHC	117±2,81	NE (63%)	NE (65%)	NE (76%)	400±2,65	NE (55%)	NE	NE (55%)	123±2,34	NE
IC ₅₀ de Células HL60 (µM)										

Swelling mitocondrial

Tabela 2. Porcentagem de aumento de swelling mitocondrial em células HL60 tratadas em relação ao controle.

Tratamentos (µM)	Tempos de Exposição (h)			
	03	06	12	24
Controle	-	-	-	-
DHC 150	36 ± 2,0	63 ± 2,5	42 ± 2,6	45 ± 3,2
DHC 250	46 ± 2,3	51 ± 3,2	55 ± 2,9	62 ± 3,4
DHC/BCD 150	53 ± 3	52 ± 2,7	77 ± 3,2	60 ± 2,3
DHC/BCD 250	47 ± 2,5	36 ± 3,0	83 ± 2,8	82 ± 4,2
DHC/BCD 400	43 ± 1,9	31 ± 2,8	73 ± 3,2	84 ± 4,5
DHC/MeBCD 150	43 ± 2,1	58 ± 3,2	34 ± 1,9	92 ± 3,4
DHC/MeBCD 250	45 ± 1,5	55 ± 2,8	36 ± 3,4	73 ± 2,9
DHC/HPBCD 150	37 ± 3,2	41 ± 4,0	41 ± 2,7	76 ± 3,1
DHC/HPBCD 250	36 ± 2,3	36 ± 2,9	73 ± 3,2	60 ± 2,3

Cada valor representa a média ± S.D. de três experimentos em quatro replicatas. Os dados foram normalizados em relação ao controle (todos os resultados apresentados acima foram significativamente diferentes quando comparados ao controle, com *P<0,001).

Figura 2 continuação. 1. Controle; 2. DHC 150 µM; 3. DHC 250 µM; 4. BCD 250 µM; 5. DHC/BCD 150 µM; 6. DHC/BCD 250 µM; 7. DHC/BCD 400 µM; 8. MeBCD 250 µM; 9. DHC/MeBCD 150 µM; 10. DHC/MeBCD 250 µM; 11. DHC/MeBCD 400 µM; 12. HPBCD 250 µM; 13. DHC/HPBCD 150 µM; 14. DHC/HPBCD 250 µM; 15. DHC/HPBCD 400 µM

Determinação do Potencial de Membrana Mitocondrial ($\Delta\psi_m$)

Tabela 3. Porcentagem de perda de $\Delta\psi_m$ em células HL60 após exposição à DHC e seus complexos de inclusão na presença e ausência de CsA (1 µM) (*p<0,05 em relação aos controles). Cada valor representa a média ± SD de três experimentos realizados em triplicata.

Tratamentos (µM)	Tempos de exposição (h)					
	03	06	12	24	48	72
1) Controle	5	7	10	12	8	7
2) DHC 150	16*	20*	14	30*	86*	84*
3) DHC 250	18*	19*	28*	50*	88*	85*
4) BCD 250	6	9	13	13	20*	6
5) DHC/BCD 150	25*	17*	19*	20*	36*	42*
6) DHC/BCD 250	21*	22*	20*	22*	51*	66*
7) DHC/BCD 400	17*	18*	19*	23*	83*	92*
8) MeBCD 250	7	8	8	13	17	8
9) DHC/MeBCD 150	19*	22*	21*	26*	85*	85*
10) DHC/MeBCD 250	16*	21*	25*	33*	95*	89*
11) DHC/MeBCD 400	19*	22*	21*	26*	85*	85*
12) HPBCD 250	6	10	12	15	7	8
13) DHC/HPBCD 150	20*	24*	21*	26*	80*	86*
14) DHC/HPBCD 250	15*	23*	20*	42*	92*	94*
15) DHC/HPBCD 400	21*	25*	25*	55*	88*	90*

Conclusões e Perspectivas

Os resultados apresentados são referentes à células HL60, o mesmo padrão de resposta foi observado nas demais células utilizadas no desenvolvimento do projeto (U937, K562, K562 Lucena). Nossos resultados indicam que a inclusão da desidrocrotonina em ciclodextrinas aumenta o efeito citotóxico através de um mecanismo de indução de morte celular diferente, as formas complexadas se mostraram mais eficientes na indução do estresse oxidativo quando comparadas a DHC livre, provavelmente devido a interações com a membrana e a liberação sustentada.

Referências

- Anazetti, M.C.; Melo, P.M.; Durán, N. and Haun, M. (2004). Dehydrocrotonin and its derivative, dimethylamide-crotonin induce apoptosis with lipid peroxidation and activation of caspases -2, -6 and -9 in human leukemic cells HL60. *Toxicology*.
- Siepmann, J.; Peppas, N.A., (Eds.). 2001. Mathematical modelling of controlled drug delivery. Published as Advances in Drug Delivery Reviews, 48, p. 250.
- Anuradha, C.D.; Kanno, S.; Hirano, S. (2001). Free radical biology and medicine The cell cycle: a review of regulation, deregulation and therapeutic targets in cancer. 31: 367-373.